

2015

ASITA



Federazione italiana delle
Associazioni Scientifiche
per le **Informazioni Territoriali**
e **Ambientali**



ASSOCIAZIONE ITALIANA
DI CARTOGRAFIA



ASSOCIAZIONE ITALIANA
DI TELERILEVAMENTO



Automated Mapping / Facilities Management
Geographic Information Systems Italia
www.amfm.it



SOCIETÀ ITALIANA DI FOTOGRAMMETRIA E TOPOGRAFIA

PLATINUM
SPONSOR

GOLDEN
SPONSOR

SILVER
SPONSOR

BRONZE
SPONSOR



CON IL PATROCINIO DI



Provincia di Lecco



Comune di Lecco



Camera di Commercio
Lecco



LECCO
VERSO E OLTRE
EXPO₂₀₁₅



Consiglio Nazionale
Geometri e Geometri Laureati



Consulta Regionale
Geometri e Geometri Laureati
della Lombardia



Collegio Geometri e Geometri Laureati
della Provincia di Lecco



CONSIGLIO NAZIONALE
DEGLI INGEGNERI



Ordine
dei Geologi
della Lombardia

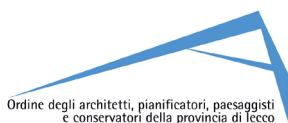


POLITECNICO
MILANO 1863

POLO TERRITORIALE DI
LECCO

UNIVERLECCO

CON LA COLLABORAZIONE DI



Ordine degli architetti, pianificatori, paesaggisti
e conservatori della provincia di Lecco



Organi ASITA

CONSIGLIO DIRETTIVO (CD)

Giuseppe SCANU (<i>Presidente</i>)	Università degli Studi di Sassari
Paola FILIPPI (<i>Vice-Presidente</i>)	Exelis Visual Information Solutions
Serafino ANGELINI	Litografia Artistica Cartografica
Piero BOCCARDO	Politecnico di Torino
Roberto DI PACE	Intergraph Italia
Andrea FAVRETTO	Università degli Studi di Trieste
Mario A. GOMARASCA	CNR-IREA, Milano
Stefano NICOLODI	SIFET
Livio PINTO	Politecnico di Milano
Mauro SALVEMINI	Università "La Sapienza", Roma
Monica SEBILLO	Università degli Studi di Salerno
Giuseppina VACCA	Università degli Studi di Cagliari

CONSIGLIO SCIENTIFICO (CS)

Stefano GANDOLFI (<i>Presidente</i>)	Università degli Studi di Bologna
Sergio FARRUGGIA (<i>Vice-Presidente</i>)	AM/FM GIS Italia
Laura BERARDI	Università "La Sapienza", Roma
Enrico BORGOGNO	Università degli Studi di Torino
Giuseppe BORRUSO	Università degli Studi di Trieste
Mirco BOSCHETTI	CNR-IREA, Milano
Andrea LINGUA	Politecnico di Torino
Giovanni MAURO	Università degli Studi di Trieste
Titi MELIS	Università degli Studi di Cagliari
Beniamino MURGANTE	Università degli Studi della Basilicata
Alessandro NOBILI	Associazione Italiana di Cartografia
Andrea SCIANNA	Università degli Studi di Palermo

SEGRETERIA ORGANIZZATIVA

Piazzale Morandi 2, 20121 Milano
Tel. 039 2847755, Fax 039 2843722
Cell. 329 9860457
E-mail: segreteria@asita.it

INDIRIZZO INTERNET

www.asita.it

Indice

Telerilevamento e GIS per la valutazione e il monitoraggio delle isole di calore in ambiente urbano <i>S. Adelfio, C. Enea, G. Bazan, P. Orlando</i>	3
Metodologia per la caratterizzazione spettrale delle superfici saline e delle aree interessate da aspersioni sabbiose tramite proximal sensing e remote sensing in Tunisia <i>G-M. Afrasinei, M.T. Melis, F. Frau, V. Demurtas, C. Buttau, C. Arras, G. Ghiglieri</i>	11
UAV per la generazione di DSM multi-temporali per il monitoraggio delle dinamiche di ricostituzione post-incendio di aree boschive <i>I. Aicardi, F. Chiabrando, A. Lingua, E. Lingua, R. Marzano, P. Maschio, M. Piras</i>	19
Aggiornamenti puntuali di dati cartografici per modellazioni ambientali <i>I. Aicardi, F. Chiabrando, C. Danna, V. Garraffo, A. Lingua, F. Noardo</i>	27
Navigazione mediante smartphone in ambienti indoor: precisioni ed accuratezze ottenibili <i>I. Aicardi, P. Dabove, N. Grasso, G. Ghinamo, A. Lingua, P. Maschio</i>	29
Mappatura delle aree inondate da immagini Landsat 8 combinate con modelli geomorfologici in ambiente GIS: il caso studio della piena del fiume Sava (Bosnia Erzegovina) del 2014 <i>A. Annis, F. Nardi, F. Castelli</i>	31
La Rete GNSS Interregionale di Regione Piemonte e Regione Lombardia: dal progetto alla gestione dell'infrastruttura <i>M. Albertelli, S. Campus, L. Chiapale, A. Cozzi, D. Dal Puppo, M. De Agostino, M. Pipino, G.B. Siletto</i>	33
BHIMM e Augmented Information: il rilievo per la conoscenza e la valorizzazione di Castel Masegra <i>L. Barazzetti, R. Brumana, F. Banfi, F. Lostaffa, F. Piraino, M. Previtali, D. Oreni, F. Roncoroni, L. Villa</i>	35
Applicazioni geomorfologiche di una stereo-coppia di immagini satellitari GEOEYE-1 <i>M. Barbarella, M. Fiani, C. Zollo</i>	47
Computer vision/structure for motion per la diffusione dei beni culturali <i>V. Barrile, G. Bilotta, D. Lamari, G. M. Meduri, U. Monardi Trungadi, A. Ricciardi</i>	51
Utilizzo di Reti Neurali, Algoritmi genetici e SVM applicati ad immagini telerilevate per la classificazione di discariche incontrollate	61
<i>V. Barrile, G. Bilotta, G.M. Meduri, U. Monardi Trungadi, A. Ricciardi</i>	61
Estrazione rapida di strade mediante segmentazione di immagini telerilevate da satellite integrabili in Open Street Map per situazioni di emergenza <i>V. Barrile, G. M. Meduri, G. Bilotta</i>	71
Analisi economica di un servizio da dati telerilevati a scala regionale: il caso del monitoraggio agricolo nel Progetto Space4Agri <i>A. Basoni, P. Carrara, A. Crema, A. de Carli, A. L'Astorina, F. Pontoni, D. Stroppiana, I. Tomasoni</i>	77
Pro-Vision: un approccio innovativo per l'analisi della visibilità in ambito stradale. Test e risultati <i>M. Bassani, N. Grasso, A. Lingua, M. Piras</i>	81
Applicazione di un modello integrato per la stima dell'evapotraspirazione di piante d'olivo (<i>Olea europea</i> L.) <i>P. Battista, M. Chiesi, B. Rapi, M. Romani, F. Sabatini, F. Maselli, C. Cantini, A. Giovannelli, G. Marino, C. Cocozza, R. Tognetti, A. Raschi</i>	87

IMAGOGIS: un progetto opensource per la gestione cartografica comunale <i>M. Beretta, O. Campolmi, G. Giori</i>	95
Cartografia storica tra ingegno e innovazione <i>M. Bertacchini</i>	103
Dal monitoraggio alla gestione adattativa del patrimonio sistematorio trentino <i>G. Bertoldi, G. Degasperì, R. Valentinotti</i>	107
Contributi geomatici al progetto MEP (Map for Easy Paths) <i>L. Biagi, M. Negretti, M.G. Visconti</i>	115
WebGis Open Source per Pubbliche Amministrazioni Locali il Caso di Studio RomaNatura <i>C. Biancalana, C. Crisciotti, M. Dalla Bernardina, A. Salvoni</i>	117
La geomatica per la modellazione 3D di placche rocciose di grandi dimensioni e applicazioni geologiche: il caso della rupe di San Leo (RN) <i>G. Bitelli, L. Borgatti, F. Cervi, M. Dellapasqua, F. Franci, V. Alena Girelli, A. Lambertini, A. Landuzzi, E. Mandanici, A. Pacini, M.C. Spreafico, M.A. Tini</i>	123
Utilizzo di immagini satellitari multispettrali ad alta risoluzione nella gestione di emergenze umanitarie <i>G. Bitelli, F. Franci, M. Luppi, E. Mandanici, F.G. Tonolo</i>	131
Il progetto In-Cul.Tu.Re: innovazione nella cultura, nel turismo e nel restauro <i>T. Bolognesi, G.L. Spoto, S. Giammaruco, F. Stifani, L. Donateo, G. Miceli, G. Montinaro, F. De Matteis, P. Durante</i>	139
Il sistema satellitare polare Landsat 8 oli per il monitoraggio del mar piccolo di Taranto <i>F. Borfecchia, L. De Cecco, A. Petrocelli, E. Cecere, G. Portacci, c. Caroppo, T. Cibic, C. Micheli, V. Pignatelli</i>	145
Informazione Geografica Volontaria interoperabile: esempio di applicazione per la valorizzazione dell'informazione agricola <i>G. Bordogna, P. Carrara, L. Frigerio, T. Kliment, A. Crema, D. Stroppiana, M. Boschetti, S. Brivio, S. Sterlacchini</i>	157
Tecnologie GIS per l'analisi dell'accessibilità ferroviaria in emergenza <i>F. Borghetti, P. Gandini, G. Marchionni, M. Ponti</i>	159
Il SIIG per la mappatura del rischio associato al trasporto di sostanze pericolose: applicazione in aree vulnerabili del contesto lombardo <i>F. Borghetti, P. Gandini, G. Pastorelli, L. Studer, V. Todeschini</i>	167
PTA-DESTINATION. Un sistema di supporto alle decisioni per la valutazione dei rischi antropici e ambientali connessi al trasporto di merci pericolose su strada <i>F. Bratta, M. Orso Giacone, A. Navarretta, L. Bonura</i>	175
La Carta di Copertura del Suolo della Regione Veneto come strumento di supporto alla pianificazione territoriale e paesaggistica <i>D. Brentan, M. Cestaro, M. De Gennaro, M. Foccardi, A. Miotto</i>	183
Archivio storico aerofotogrammetrico della Città di Torino: plugin di visualizzazione del dato fotografico in ambiente GIS <i>O. Caddia, G. Pirrello, L. Annibaletto, L. Chiapale, M. De Agostino, S. Giorgi, M. Pipino</i>	191
Utilizzo di ricevitori a basso costo e del software goGPS per il monitoraggio geodetico <i>S. Caldera, E. Realini, R. Barzaghi, M. Reguzzoni, F. Sansò</i>	199
Una infrastruttura geografica europea: il Progetto E.L.F. (European Location Framework) <i>S. Campus, P. Nazio, G.B. Siletto</i>	207
Esperienze di rilievi UAV per la prevenzione del rischio ambientale <i>M. Caprioli, R. Trizzino</i>	215

Un WebGIS per la divulgazione delle analisi dei processi di desertificazione del territorio della Puglia <i>G. Caradonna, E. Tarantino, A. Novelli, B. Figorito, U. Fratino</i>	217
Sviluppi del progetto Phytos.I.S in Calabria: la carta della biodiversità vegetale del lago di Tarsia <i>D. Caridi, G. Maiorca, I. Antonucci, A. Leuzzi, G. Spampinato, P. Cameriere, A. Crisafulli</i>	225
WebGIS delle «no fly zones» per SAPR in Italia <i>V. Caroselli, C. Iannucci</i>	231
Recupero di riprese fotogrammetriche storiche per l'analisi e la pianificazione territoriale: il caso studio della Val Grande <i>C. Cassatella, G. Garnero, P. Guerreschi, B. Seardo</i>	237
Stima dei trend di stato trofico in laghi profondi da dati MERIS (2002-2012) <i>I. Cazzaniga, C. Giardino, M. Bresciani, S. Peters</i>	245
La tecnologia laser scanning per la valutazione statica delle strutture storiche <i>F. Chiabrando, E. Donadio, G. Sammartano, A. Spanò</i>	253
Tendenze recenti del cambiamento. La banca dati Uso e Copertura del Suolo di Regione Toscana (2007/2010/2013) <i>C. Ciampi, L. Bottai, M. Corongiu, B. Giusti, F. Lucchesi, U. Sassoli</i>	263
Piattaforma WebGis e strumenti Open Source per i sistemi di trasporto ed una pianificazione territoriale sostenibile <i>A. Ciuffi, C. Lembo, R. Nocera</i>	271
La geologia di Roma (1820-2008): l'evoluzione della conoscenza geologica attraverso le mappe storiche della città <i>M.P. Congi, F. Console, M. Pantaloni, P. Perini, M. Roma</i>	277
Il telerilevamento in ambito marino-costiero per applicazioni legate alla pesca <i>P. Conte, E. Mandanici, G. Bitelli</i>	287
Telerilevamento a supporto della precision farming <i>A. Crema, G. Candiani, M. Boschetti, C. Franchino</i>	289
Protocollo operativo per la validazione geometrica di immagini satellitari ad alta risoluzione <i>M. Crespi, R. De Paulis, F. Pellegrini, P. Capaldo, F. Fratarcangeli, R. Gini, A. Nascetti, F. Selva</i>	293
La Citizen Science e la Rete Italiana per la Ricerca Ecologica di Lungo Termine (LTER-Italia): esperienze nei siti d'alta quota <i>L. Crisculo, A. Oggioni, P. Carrara, S. Lanucara, A. Campanaro, M. Freppaz, A. Lami, M. Maggioni, G. Matteucci, A. Puggnetti, M. Rogora</i>	295
Un sistema per il monitoraggio geofisico con ricevitori GNSS a singola frequenza: l'esperienza del progetto SIMULATOR <i>D. Curone, A. Amodio, M. Osmo, M. Chersich</i>	297
Osservazione delle zone marine costiere da dati ottici multi-sensore: il caso studio della foce del Volturno <i>S. Daneshgar, E. Matta, C. Giardino, M. Bresciani, G. Sona</i>	305
Trasformazione tra Sistemi di riferimento e GIS: quali precisioni? <i>M. De Agostino, M. Pipino, G.B. Siletto, S. Campus</i>	313
Applicazione GIS per la gestione dei dati di monitoraggio ambientale Integrazione tra Tecnologie Gis ESRI e Tecnologie Microsoft <i>L. De Rosa, A. Salluzzo</i>	323
Nuove prospettive per l'utilizzo del remote sensing nella gestione delle emergenze da rischi Natech e l'uso della terminologia specifica <i>S. Di Franco, R. Salvatori, E. Rapisardi</i>	331

AGAT Marathon Map – Un progetto di cartografia partecipata <i>A. Di Somma, R. Mastrolorenzo, E. Marini, F. Zonetti, M. Miranda, S. Werther Pechar, A. Scarfone, V. Ferrari</i>	339
Un'applicazione al settore ambientale di fotogrammetria con piattaforma UAV <i>M.G. D'Urso, A. Gargiulo, A. Rotondi, R. Bracaglia</i>	347
La Geomatica per il monitoraggio del patrimonio architettonico della provincia di Matera <i>M. Delli Santi</i>	355
La complessità dell'organizzazione spaziale nell'agricoltura toscana <i>L. Fastelli, C. Ciampi, B. Giusti, F. Lucchesi, F. Monacci, M. Rovai</i>	363
Ottimizzazione della modellistica di simulazione del rischio idraulico tramite algoritmi di <i>Optimal Sensor Location</i> <i>G. Fattoruso, A. Agresta, G. Guarnieri, A. Buonanno, B. Lanza, M. Molinara, C. Marrocco, S. De Vito, F. Tortorella, G. Di Francia</i>	373
Variazioni geomorfologiche nell'area centrale della Laguna di Venezia. Elaborazione di cartografia storica e foto aeree <i>B. Favaretto, F. Rizzetto, E. Molinaroli</i>	381
Consumo di suolo e forme insediative nei Sistemi locali urbani <i>A. Ferrara, F. Lipizzi, G. Endennani</i>	389
Tecniche di telerilevamento per il riconoscimento dei soggetti arborei appartenenti al genere <i>Platanus spp.</i> <i>S. Fiorillo, G. Villa, A. Marchesi</i>	391
Mappatura della coltivazione e monitoraggio della crescita di riso nel distretto agricolo di salonicco (Grecia) tramite l'utilizzo di dati SAR <i>G. Fontanelli, F. Holecz, F. Collivignarelli, L. Gatti, M. Barbieri, D. Katsantonis, Ch. Dramalis, A. Kaliait̃zidis, L. Ranghetti, L. Busetto, M. Boschetti</i>	399
Sistemi decisionali per la gestione dell'erosione costiera <i>M. Funaro, M. Ioannilli</i>	401
Mappatura del rischio sulle aree costiere dell'effetto combinato dell'innalzamento del livello medio del mare e degli eventi meteorologici straordinari <i>S. Hosseini, M. Scaioni</i>	409
Proposta di schema fisico banca dati territoriale provinciale <i>M. Gadaldi, P. Maspes, M. Spinelli</i>	411
SIMULATOR: Sistema Integrato ModULAre per la gesTione e prevenziOne dei Rischi <i>R. Gianfreda, D. Curone, S. Sterlacchini, M. Faravelli, R. Salerno, R. Mangiaracina, S. Grilli, M. Riva</i>	419
Dalla cartografia storica alla cartografia 2.0 nella Toscana preunitaria: toponomastica idrografica e attività manifatturiere <i>M. Grava, M. De Silva, M. Gesualdi, F. Lucchesi, A. Martinelli, C. Torti</i>	421
Analisi e gestione della cartografia storica per la ricostruzione virtuale dell'area termale euganea (PD): il caso di Monteortone <i>S. Greggio, E. Faresin, P. Zanovello, G. Salemi</i>	429
Scenari di pericolo/rischio da eventi di frane superficiali per reti viarie <i>G. Gullà, L. Borrelli, G. Cofone</i>	437
Il rischio idrogeologico: un'esperienza problematica con i dati delle Autorità di Bacino (AdB) <i>F. Guzzetti, A. Pasquinelli, A. Privitera, M. Ronconi</i>	445
La scarsa attendibilità del CAP come riferimento geografico in Italia <i>F. Guzzetti, A. Pasquinelli, A. Privitera, M. Ronconi</i>	453

L'utilizzo della geolocalizzazione per contrastare il rischio sociale connesso al gioco d'azzardo patologico <i>F. Guzzetti, A. Pasquinelli, A. Privitera, M. Ronconi</i>	461
Processi di realizzazione di SDI: ruoli tecnici e gestionali a confronto <i>C. Iannucci, V. Caroselli</i>	469
Monitoraggio idrografico del Banco di Graham (Canale di Sicilia) e sicurezza della navigazione <i>R. Ivaldi, N. Langellotto, N. Moschetto, N. Pizzeghello, M. Garbarino</i>	481
Sperimentazione in ambiente GIS di una metodologia per l'automatizzazione di procedure nell'analisi della Condizione Limite per l'Emergenza (CLE) <i>A. Lambertini, D. Loi, G. Bitelli</i>	487
I multicotteri controllano il suolo del superParco della Brianza, palestra di scoperte archeologiche <i>M.M. Langfelder, G. Langfelder</i>	495
Nutrire mente e corpo con Leonardo maestro di interoperabilità <i>S. Langfelder, M.M. Langfelder</i>	497
Un modello per il calcolo della distribuzione del volume dei sedimenti prodotti da un bacino idrografico attraverso l'utilizzo di un plug-in in ambiente PyQGIS <i>S. Larosa, C. Vacca, R. Dominici, G. Cianflone, A. Viscomi, R. De Rosa</i>	499
Primi passi per la modellazione delle regole geospaziali <i>R. Laurini</i>	501
Il rilievo 3D nella tutela e conservazione di un bene architettonico in un'area a elevato rischio geologico <i>L. Leone, D. Laudani Fichera, G. Pulvirenti, P. Spicuzza, M. Leone, C. Caruso</i>	509
Studio e sviluppo di un GIS per la gestione della lotta dei grandi incendi secondo la direttiva INSPIRE <i>A. Lingua, M. Piras, M.A. Musci, F. Noardo, N. Grasso, V. Verda</i>	517
Strumenti Tecnologici GIS e Open Data a supporto dell'interoperabilità dei Piani Territoriali di Coordinamento Provinciale o di Area Vasta <i>N. Lopez, V.F. Uricchio, V. Guerra</i>	523
Monitoraggio dell'umidità dei suoli per un corretto uso delle risorse idriche <i>A. Lugli, A. Seravalli, M. Solmi, D. Rondini, I. Ghinello, L. Boni</i>	531
Sviluppo di tecnologie smart per l'agricoltura: opportunità di collaborazione tra ricerca e scuola <i>A. L'Astorina, I. Tomasoni, G. Bordogna, A. Crema, L. Frigerio</i>	539
"Le mappe di comunità": esperienze di cartografia partecipata per lo sviluppo locale <i>C. Madau</i>	541
Mappatura dell'attività fumarolica sul cono de La Fossa (Isola di Vulcano) e sua applicazione al monitoraggio del rischio vulcanico <i>P. Madonia, M. Cangemi, M. Costa, I. Madonia, C. Sammarco</i>	549
Strumenti GIS, integrati con modelli di valutazione della qualità dell'aria, a supporto delle politiche pianificatorie <i>G. Maffei, S. Greco, R. Gianfreda, A. Cherubini, F. Ferrari</i>	555
Lo spazio della proprietà pubblica: la mappa di Firenze <i>N. Magnolfi, G. Androzzi, F. Lucchesi, I. Scatarzi</i>	557
Sviluppo di un corner reflector a banda X per il monitoraggio multitecnologico di deformazioni lente in ambiente alpino <i>V. Mair, M. Mulas, C. Iasio, A. Corsini, G. Chinellato, D. Mosna, C. Strada, S. Tagnin</i>	565
Analisi di serie temporali di dati satellitari per la caratterizzazione della variabilità di pratiche agricole del frumento duro nel Parco Regionale della Camargue, Francia <i>G. Manfron, S. Delmotte, M. Boschetti, P.A. Brivio</i>	567

Monitoraggio innovativo per la gestione dell'inquinamento ambientale provocato da rilasci abusivi di rifiuti: l'esperienza del progetto DroMEP <i>C. Massarelli, M.R. Muolo, V.F. Uricchio, N. Dongiovanni</i>	569
Immagini Iperspettrali CASI per lo studio della sostanza organica nei suoli <i>R. Matarrese, V. Ancona, R. Salvatori, M.R. Muolo, V.F. Uricchio, M. Vurro</i>	577
Metodologia di calcolo delle distanze verticali su foto aeree oblique <i>M. Molinari, S. Medda, S. Villani</i>	583
Il rilievo 3D dell'ex Stazione Frigorifera Specializzata (Magazzini Generali di Verona) mediante metodologia laser scanning terrestre <i>M. Monego, V. Achilli, D. Bragagnolo, M. Fabris, A. Menin, G. Targa</i>	591
Il supporto delle B.D. territoriali nella valutazione di un progetto di realizzazione di un nuovo elettrodotto <i>D. Morelli, M.C. Reitano, M. Leone</i>	597
Verifica e Miglioramento degli High Resolution Layers Copernicus in Italia <i>M. Munafò, B. Alesse, L. Congedo, F. Ferraro, P. De Fioravante, S. Marzeddu, L. Sallustio, D. Tonti, M. Ottaviano, M. Marchetti</i>	605
Gestione del rischio idraulico residuo mediante modellazione idro-morfologica in ambiente GIS: il caso di studio del fiume Tevere <i>F. Nardi, A. Annis</i>	611
Stima di mappe di LAI su are risicole lombarde utilizzando immagini ad alta risoluzione e tecnologie smart <i>F. Nutini, M. Boschetti, L. Ranghetti, L. Busetto, R. Braggio, C. Franchino, P.A. Brivio</i>	613
Applicazioni GIS in epidemiologia ambientale: esposizione a rumore aeroportuale ed effetti sulla salute. Il caso studio dell'aeroporto di Firenze <i>D. Nuvolone, P. Pepe, F. Cipriani</i>	617
Il progetto SINOPIAE, impiego di dati telerilevati multisorgente per applicazioni ambientali innovative <i>G. Ober, W. Di Nicolantonio, R. Colombo, G. Maffeis, I. Cazzaniga, R. Brumana, P. Marras, L. Ferrero, A. Cacciari, N. Marmorale, A. Rampini, M. Bresciani, S. Cogliati, B.o Di Mauro, R. Garzonio, R. Gianfreda, F. Ferrari, L. Barazzetti, M. Previtali, B. Tattarletti, E. Bolzacchini, G. Sangiorgi, M.G. Perrone, S. Pastore, F. Casini, N. Fiorentino</i>	619
QI2S - Sistema per l'elaborazione ed interpretazione di immagini iperspettrali direttamente a bordo del satellite <i>G. Ober, J. Naghmouchi, O. Bischoff, P. Aviely, R. Nadler, D. Guiser, V. Messina, R. Freddi</i>	627
SEGUICI: Smart tecnologie per la Gestione delle risorse idriche ad Uso Irriguo e Civile <i>G. Ober, A. Candelieri, F. Sapio, F. Ferrari, E. Biserni, F. Dell'Acqua, S. Meucci, M. Mancini, N. Marmorale, G. Tramontano, N. Fiorentino, A. Taramelli, R. Venturino, G. Ravazzani, C. Corbari, G. Maffeis, R. Gianfreda</i>	633
Soluzioni innovative in ambito Geospatial, Utilities & Communication <i>T. Orsenigo, S. Colla, R. Di Pace</i>	635
Il Repertorio dei dati territoriali disponibili ai fini dell'implementazione di un SIT per la Città di Tricase <i>M. Palazzo, D. Rausa</i>	637
Gestione e ripristino del territorio in aree soggette a rischio idraulico/idrogeologico attraverso la Riqualificazione Fluviale <i>A. Palumbo</i>	645
Evoluzione della normativa per la gestione del pericolo da alluvioni nella Provincia Autonoma di Trento <i>C. Pendino, E. Sbrissa, R. Valentinotti, S. Fait</i>	653

Metadati di sensori: esemplari tipo precompilati ed editing assistito per generare SensorML corretti <i>M. Pepe, A. Oggioni, C. Fugazza, P. Tagliolato, F. Pavesi, A. Basoni, M. Bastianini, S. Menegon, P. Carrara</i>	661
Nuove applicazioni cartografiche e “vecchie” problematiche territoriali. I limiti amministrativi della Sardegna <i>C. Podda</i>	663
Una procedura robusta per la ricostruzione vettoriale degli ambienti interni degli edifici a partire da nuvole di punti <i>M. Previtali, L. Díaz-Vilariño, M. Scaioni, R. Brumana, P. Arias</i>	673
Il GIS a supporto della pianificazione comunale di protezione civile: il caso del comune di Pulsano <i>D. Rausa, M. Palazzo</i>	675
Stima e validazione delle prestazioni di un Sistema Aeromobile a Pilotaggio Remoto in Agricoltura di Precisione <i>G. Ristorto, F. Mazzetto, G. Guglieri, F. Quagliotti</i>	683
ASTI Atlante Statistico Territoriale delle Infrastrutture <i>C. Santoro, L. De Iaco, S. Portuesi, J. Marca</i>	693
Il progetto SEGUICI e lo sviluppo di soluzioni Smart per la Gestione delle risorse idriche ad uso Civile <i>F. Sapio, C. d’Alessandro, M. Luigia Nitti, I. Giordani, A. Rossi, A. Candelieri</i>	701
La modellazione del reticolo idrografico: elemento cardine per la pianificazione e la tutela del territorio <i>E. Sbrissa, C. Pendino, R. Valentinotti, S. Fait</i>	703
Fonti, criteri e modalità per l’individuazione del perimetro urbano ai sensi della 65/2014 <i>M. Scamporrino, L. Di Figlia, G. De Luca</i>	711
Tecniche cartografiche e valutazione del paesaggio <i>G. Scanu</i>	719
Contributo alla definizione del numero dei nuraghi della Sardegna: quando la carta storica è rivisitata in ambiente GIS <i>G. Scanu, C. Podda</i>	731
Riconoscimento di specie arboree mediante classificazione di immagini multispettrali e multitemporali ad altissima risoluzione <i>G. Sona, R. Gini, D. Passoni, L. Pinto</i>	743
Telerilevamento iperspettrale da aereo per il monitoraggio di ecosistemi forestali: mappa di specie e stima di parametri biofisici <i>G. Tagliabue, C. Panigada, R. Colombo, C. Cilia, F. Fava, F. Baret, A. Schickling, U. Rascher, K. Vreys, K. Meuleman, M. Rossini</i>	745
Un approccio a regole per la mappatura precoce delle colture in Lombardia tramite dati satellitari ottici e radar <i>P. Villa, G. Fontanelli, D. Stroppiana, R. Azar, P.S. Brivio</i>	753
Il livello di dettaglio dei modelli 3D geomatici per l’analisi strutturale FEM <i>D. Visintini, A. Spangher</i>	755
Mappe comunitarie dell’acqua: il potenziale del sensing partecipativo nella gestione delle risorse idriche <i>D. Vito</i>	763
Il progetto OnToMap: costruire conoscenza territoriale attraverso l’uso di un’applicazione ICT <i>A. Voghera, R. Crivello, L. Ardissono, M. Lucenteforte, A. Savoca</i>	771

Interpretazioni geografiche sulla localizzazione dei forti del campo trincerato di Roma <i>F. Zonetti, S. Werther Pechar, M. Miranda, A. Di Somma, R. Mastrolorenzo, E. Marini, A. Scarfone, V. Ferrari</i>	779
Strumenti per la modellazione di colate detritiche e la mappatura del pericolo: sviluppo di una SDI con servizi di elaborazione, basata sul modello numerico TRENT2D <i>N. Zorzi, A. Rizzi, D. Zugliani, S. Piffer, G. Rosatti</i>	787
Concept di un modello di dati GIS per l'analisi integrata dei Piani di Assetto Idrogeologico (PAI) e Territoriale Paesistico (PTP) <i>V. Angeloro, F. Nardi</i>	795
Ponti antichi e moderni: utilizzo di tecniche geomatiche per il rilievo, la rappresentazione e la modellazione strutturale <i>S. Artese, A. Miceli, P. Talarico, A. Venneri, G. Zagari, R. Zinno</i>	797
Rilievo e modellazione di infrastrutture viarie con tecniche geomatiche <i>G. Artese, S. Artese, S. Benvenuto, A. Di Rienzo, G. Garotto, M. Molinari</i>	805
L'intermediazione geospaziale per la valorizzazione del paesaggio e lo sviluppo di sistemi museali multimediali <i>F. Banfi, L. Barazzetti, R. Brumana, D. Oreni, M. Previtali, F. Roncoroni, P. Mazzetti</i>	811
Infrastrutture Verdi Urbane: fra sostenibilità ed INSPIRE <i>L. Berardi</i>	821
La revisione del Corpus di Conoscenze nel progetto Geographic Information – Need to Know <i>L. Berardi, S. Farruggia, B. Murgante, M. Salvemini, M. Sebillo</i>	827
Il nuovo modello digitale del terreno della Regione Lombardia; un esempio di utilizzo di dati esistenti <i>M. Bocci, D. Dal Puppo, D. Fasolini</i>	833
Quantificazione del Biotope Area Factor (BAF) con procedure automatiche di analisi della cartografia esistente <i>V. Casella, M. Franzini, G. Girone, P. Marchese</i>	843
Caratteristiche delle stazioni GNSS permanenti italiane <i>N. Cenni, P. Baldi, M. Barbarella, M.E. Belardinelli, S. Gandolfi, F. Loddo, E. Mantovani, L. Poluzzi, L. Tavasci, M. Viti</i>	853
GIS 3D/4D per le reti tecnologiche sottosuolo (e soprasuolo) <i>A. Deiana</i>	861
Monitoraggio altimetrico di elevata precisione di ponte in acciaio <i>B. Federici, I. Ferrando, D. Sguerso, S. Belfiore, P. Bellina</i>	867
Precisioni ottenibili dall'approccio PPP mediante uso di parametri di trasformazione regionali <i>S. Gandolfi, L. Tavasci, L. Poluzzi</i>	869
Nuove tecniche di rilievo ed integrazione dati per il territorio vitivinicolo: esempi di applicazione nel territorio del nebbiolo in Langa <i>M. Giardino, L. Perotti, R. Vigna</i>	875
Cartografie vecchie e nuove: il caso delle trasformazioni territoriali nel Litorale Pisano <i>P. Macchia</i>	877
Linea retta o spartiacque? Cartografia storica e rilievo topografico per il confine provinciale in Trentino <i>M. Mastronunzio, D. Buffoni, S. Girardi</i>	885
Ontologie e modelli di dati per l'informazione spaziale dei Beni Architettonici <i>F. Noardo</i>	893
Proposta per una codifica standard dell'informazione idrografica della Regione Siciliana <i>M.T. Noto, E.M. Castrogiovanni, S. Sicilia, M. Romeo</i>	901

Applicazioni metodologiche per la valutazione dell'incidenza delle trasformazioni territoriali a carattere antropico su alcuni processi ambientali. Un caso di studio in Sardegna <i>C. Podda, G.L. Scanu</i>	903
Stima delle variazioni della superficie allagata in risaia nel distretto lombardo-piemontese tramite dati MODIS per il periodo 2000-2014 <i>L. Ranghetti, L. Busetto, A. Crema, M. Fasola, E. Cardarelli, M. Boschetti</i>	913
Studio dei fenomeni di dissesto geologico sulla superficie lunare a partire dai dati telerilevati dai satelliti Chang'E 1 e 2 <i>M. Scaioni, V. Jordanov, R. Brumana, M.T. Brunetti, M.T. Melis, Z. Kang, A. Zinzi</i>	917
Utilizzo delle texture nella classificazione di vegetazione in immagini ad altissima risoluzione acquisite da UAS <i>G. Sona, R. Gini</i>	917
Catasto degli scarichi idrici non afferenti al servizio idrico integrato della Città Metropolitana di Bari <i>A. Varasano, G. Ritrovato, M. Casulli, G. Garziano, D. Labella, E. Andriani, A. Cerrato, F. D'Anna, F. Defrenza, F. Di Domenico, G. Errico, D. Gallo, G. Gentile, F. Giangrande, M. Gioia, V. Iusco, A. Marinò, F.M. Marvulli, M. Miali, G. Preziosa, M. Piscitelli, N. Positano</i>	921
“SHARE FOR CARE” una piattaforma comunitaria per lo sviluppo attraverso la condivisione di dati <i>D. Vito</i>	929
Rilievi aerei ad alta precisione per certificare la demanialità delle lagune del Delta del Po <i>A. Zanellato, F. Rigoni, G. Monaldi, L. Palieri, L. Rossi, V. Fortuna, A. Melchiorri, D. Colaiocco</i>	937
Biomonitoraggio dei radionuclidi tramite Api nel territorio comunale di Rotondella - MT (2012) <i>F. Schiuma, E. Viti, A.M. Grippo, S. Ghini, C. Porrini, S. Pace</i>	939
Correzioni gravimetriche per la rete di livellazione geometrica italiana: stato dell'arte e l'esempio della Provincia di Trento <i>R. Barzaghi, B. Betti, D. Buffoni, D. Carrion, R. Maseroli, R. Revolti, G. Venuti, A. Vitti</i>	949
Introduzione alla fotogrammetria terrestre, aerea, da satellite e da drone: “La facilità e potenza del Sw “Photomod” 6.x0” di Racurs, Mosca” <i>F. Campolo</i>	951
Panoramica dell'attività dell'INSPIRE MIG: uno sguardo alla fase implementativa <i>C. Cipolloni, M. Munafò</i>	957
Un approccio integrato all'analisi dei geo-hazard con dati INSPIRE armonizzati <i>C. Cipolloni, M. Pantaloni</i>	959
Da palude a “Granaio del Tirolo”: la bonifica della Val Venosta nel XIX secolo attraverso la cartografia <i>E. Dai Prà, M. Proto</i>	961
OpenBonifica, un servizio di monitoraggio delle aree agricole nella “terra dei fuochi” mediante dati di Osservazione della Terra da satellite <i>S. Falanga Bolognesi, L. Marotta, M. Colandrea, E. Anzano, I. Mula, C. De Michele, G. D'Urso</i> ..	967
Ottimizzare i Metadati Geospaziali per il Web Semantico <i>C. Fugazza, M. Pepe, A. Oggioni, P. Tagliolato, F. Pavesi, A. Basoni, S. Menegon, P. Carrara</i>	971